

Starkniederschlagshöhen und -spenden gemäß KOSTRA-DWD-2010R

Auswertungszeitraum von 1951 - 2010, Januar - Dezember

Rasterfeld: 76008

Zeile: 76

Spalte: 8

Seite: 1/2

| Dauerstufe D | Wiederkehrzeit T | | | | | | | | | | | | | | | | | | |
|--------------|------------------|------|------------|------|------------|------|------------|------|------------|------|------------|------|------------|------|------------|-------|------------|-------|------------|
| | 1 a | | 2 a | | 3 a | | 5 a | | 10 a | | 20 a | | 30 a | | 50 a | | 100 a | | |
| min | Std | mm | l / (s ha) | mm | l / (s ha) | mm | l / (s ha) | mm | l / (s ha) | mm | l / (s ha) | mm | l / (s ha) | mm | l / (s ha) | mm | l / (s ha) | mm | l / (s ha) |
| 5 | | 4,7 | 156,7 | 6,1 | 203,3 | 7,0 | 233,3 | 8,0 | 266,7 | 9,4 | 313,3 | 10,9 | 363,3 | 11,7 | 390,0 | 12,7 | 423,3 | 14,2 | 473,3 |
| 10 | | 7,6 | 126,7 | 9,7 | 161,7 | 10,9 | 181,7 | 12,5 | 208,3 | 14,6 | 243,3 | 16,7 | 278,3 | 17,9 | 298,3 | 19,5 | 325,0 | 21,6 | 360,0 |
| 15 | | 9,6 | 106,7 | 12,2 | 135,6 | 13,8 | 153,3 | 15,7 | 174,4 | 18,4 | 204,4 | 21,0 | 233,3 | 22,5 | 250,0 | 24,5 | 272,2 | 27,1 | 301,1 |
| 20 | | 11,0 | 91,7 | 14,1 | 117,5 | 15,9 | 132,5 | 18,2 | 151,7 | 21,3 | 177,5 | 24,4 | 203,3 | 26,2 | 218,3 | 28,5 | 237,5 | 31,6 | 263,3 |
| 30 | | 13,0 | 72,2 | 16,9 | 93,9 | 19,1 | 106,1 | 22,0 | 122,2 | 25,9 | 143,9 | 29,8 | 165,6 | 32,0 | 177,8 | 34,9 | 193,9 | 38,8 | 215,6 |
| 45 | | 14,7 | 54,4 | 19,6 | 72,6 | 22,4 | 83,0 | 26,0 | 96,3 | 30,9 | 114,4 | 35,7 | 132,2 | 38,6 | 143,0 | 42,2 | 156,3 | 47,0 | 174,1 |
| 60 | | 15,8 | 43,9 | 21,5 | 59,7 | 24,8 | 68,9 | 29,0 | 80,6 | 34,8 | 96,7 | 40,5 | 112,5 | 43,8 | 121,7 | 48,0 | 133,3 | 53,7 | 149,2 |
| 90 | | 17,6 | 32,6 | 23,4 | 43,3 | 26,8 | 49,6 | 31,1 | 57,6 | 36,9 | 68,3 | 42,7 | 79,1 | 46,0 | 85,2 | 50,3 | 93,1 | 56,1 | 103,9 |
| 120 | 2 | 19,1 | 26,5 | 24,9 | 34,6 | 28,3 | 39,3 | 32,7 | 45,4 | 38,5 | 53,5 | 44,4 | 61,7 | 47,8 | 66,4 | 52,1 | 72,4 | 57,9 | 80,4 |
| 180 | 3 | 21,3 | 19,7 | 27,2 | 25,2 | 30,7 | 28,4 | 35,1 | 32,5 | 41,0 | 38,0 | 47,0 | 43,5 | 50,4 | 46,7 | 54,8 | 50,7 | 60,7 | 56,2 |
| 240 | 4 | 23,0 | 16,0 | 29,0 | 20,1 | 32,5 | 22,6 | 37,0 | 25,7 | 43,0 | 29,9 | 49,0 | 34,0 | 52,5 | 36,5 | 56,9 | 39,5 | 62,9 | 43,7 |
| 360 | 6 | 25,7 | 11,9 | 31,8 | 14,7 | 35,4 | 16,4 | 39,9 | 18,5 | 45,9 | 21,3 | 52,0 | 24,1 | 55,6 | 25,7 | 60,1 | 27,8 | 66,1 | 30,6 |
| 540 | 9 | 28,7 | 8,9 | 34,9 | 10,8 | 38,5 | 11,9 | 43,1 | 13,3 | 49,2 | 15,2 | 55,4 | 17,1 | 59,0 | 18,2 | 63,6 | 19,6 | 69,7 | 21,5 |
| 720 | 12 | 31,1 | 7,2 | 37,3 | 8,6 | 40,9 | 9,5 | 45,5 | 10,5 | 51,8 | 12,0 | 58,0 | 13,4 | 61,7 | 14,3 | 66,3 | 15,3 | 72,5 | 16,8 |
| 1080 | 18 | 34,7 | 5,4 | 41,0 | 6,3 | 44,7 | 6,9 | 49,4 | 7,6 | 55,7 | 8,6 | 62,0 | 9,6 | 65,7 | 10,1 | 70,4 | 10,9 | 76,7 | 11,8 |
| 1440 | 24 | 37,5 | 4,3 | 43,9 | 5,1 | 47,6 | 5,5 | 52,4 | 6,1 | 58,8 | 6,8 | 65,1 | 7,5 | 68,9 | 8,0 | 73,6 | 8,5 | 80,0 | 9,3 |
| 2880 | 48 | 47,4 | 2,7 | 54,9 | 3,2 | 59,3 | 3,4 | 64,9 | 3,8 | 72,4 | 4,2 | 80,0 | 4,6 | 84,4 | 4,9 | 90,0 | 5,2 | 97,5 | 5,6 |
| 4320 | 72 | 54,3 | 2,1 | 62,5 | 2,4 | 67,3 | 2,6 | 73,4 | 2,8 | 81,6 | 3,1 | 89,8 | 3,5 | 94,6 | 3,6 | 100,7 | 3,9 | 108,9 | 4,2 |

Angaben in mm: Bemessungsniederschlagswerte h(n)

Angaben in l / (s ha): Regenspende R(n) mit $R(n) = h(n) \times 1,666667 / D[\text{min}]$

Toleranzbereiche:

+/- 10 % für $1 \text{ a} \leq T \leq 5 \text{ a}$

+/- 15 % für $5 \text{ a} < T \leq 50 \text{ a}$

+/- 20 % für $50 \text{ a} < T \leq 100 \text{ a}$

Datenbasis: KOSTRA-DWD-2010R des Deutschen Wetterdienstes. Die Regenspende wurde auf Basis des Bemessungsniederschlags zur jeweiligen Andauer berechnet.

Für die Richtigkeit und Aktualität der Angaben wird keine Gewähr übernommen. Erstellt 07/2022.

Starkniederschlagshöhen und -spenden gemäß KOSTRA-DWD-2010R

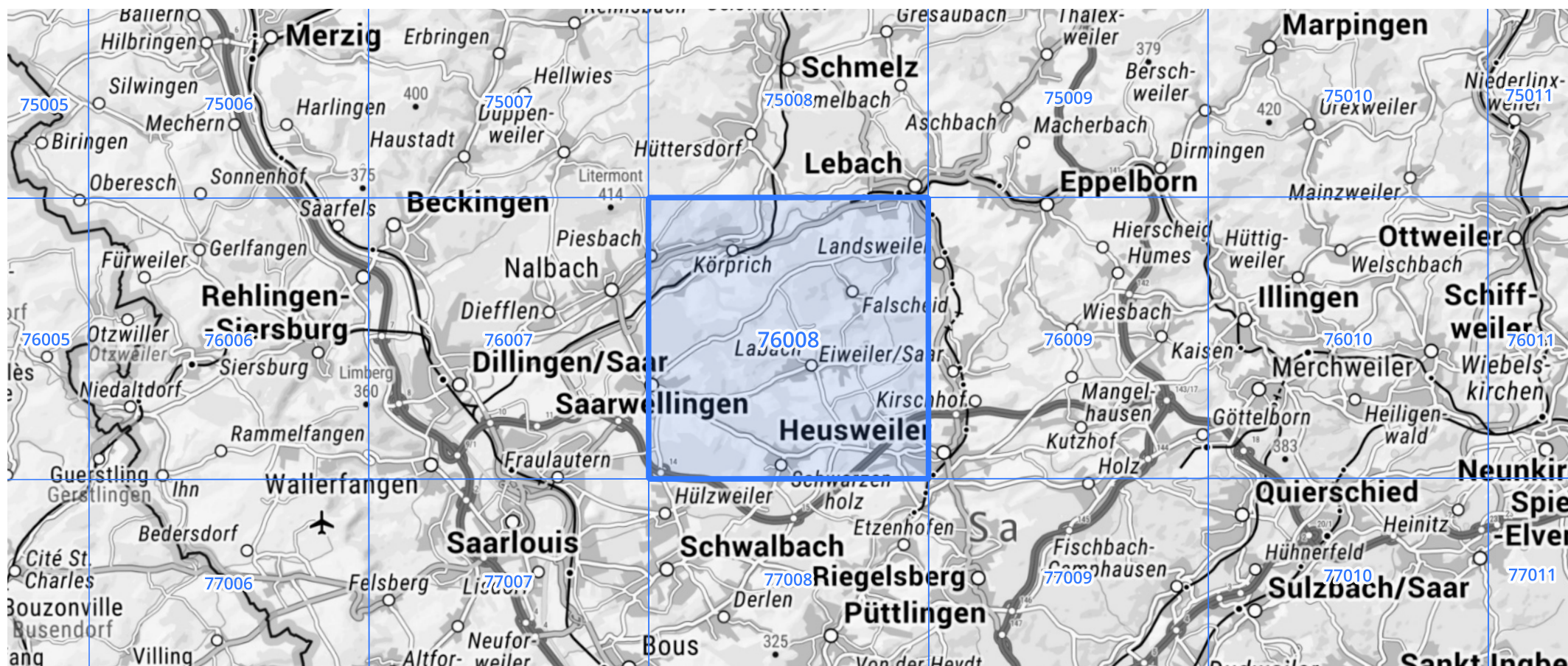
Auswertungszeitraum von 1951 - 2010, Januar - Dezember

Rasterfeld: 76008

Zeile: 76

Spalte: 8

Seite: 2/2



Quelle Rasterdaten: KOSTRA-DWD-2010R des Deutschen Wetterdienstes.

Kartendarstellung: © Bundesamt für Kartographie und Geodäsie (2022), Datenquellen: https://sgx.geodatenzentrum.de/web_public/gdz/datenquellen/Datenquellen_TopPlusOpen.html

Für die Richtigkeit und Aktualität der Angaben wird keine Gewähr übernommen. Erstellt 07/2022.